

05

Микромагнитные структуры, индуцированные неоднородным электрическим полем, в магнитодноосных пленках с флексомагнитоэлектрическим эффектом

© Р.М. Вахитов¹, З.В. Гареева^{1,2}, Р.В. Солонецкий³, Ф.А. Мажитова¹

¹ Башкирский государственный университет,
Уфа, Россия

² Институт физики молекул и кристаллов УФИЦ РАН,
Уфа, Россия

³ Уфимский государственный авиационный технический университет,
Уфа, Россия

E-mail: VakhitovRM@Yahoo.com

Поступила в Редакцию 27 декабря 2018 г.

В окончательной редакции 27 декабря 2018 г.

Принята к публикации 28 декабря 2018 г.

Исследуются особенности проявления флексомагнитоэлектрического эффекта в магнитодноосных пленках при локальном воздействии электрического поля на их поверхность. Показано, что при возрастающем ее воздействии происходит поэтапная трансформация структуры 180° доменной границы от блоховской к квазиблоховской, а при некотором значении поля и в неелевскую. Выявлено, что в больших полях возможно зарождение 0° доменной границы с неблоховской структурой, закономерности которого имеют аналогии с процессами образования магнитных неоднородностей на дефектах типа „потенциальная яма“. Определен также вклад парциальных частей неоднородного магнитоэлектрического взаимодействия, обусловленных наличием в них $\text{div } \mathbf{m}$ и $\text{rot } \mathbf{m}$, в рассматриваемые явления.

Работа выполнена при поддержке грантов РФФИ № 16-02-00336-А, № 19-32-50020 мол_нр.

DOI: 10.21883/FTT.2019.06.47688.348

1. Введение

В последние два десятилетия наблюдается возрастающий интерес к исследованиям магнитоэлектрических материалов, свойства которых можно описать двумя и более взаимодействующими параметрами порядка [1,2]. В них был обнаружен ряд необычных и интересных явлений, имеющих перспективы быть примененными в разнообразных технических устройствах спинтроники. В частности предполагается, что эти материалы могут быть использованы в качестве рабочей среды в устройствах магнитной памяти нового поколения (MRAM) [3], в которых запись информации можно осуществить с помощью электрического поля. К такого рода материалам относятся также пленки ферритов гранатов, выделяющиеся среди других тем, что для них имеется развитая технология их получения, причем, с требуемыми свойствами, достигаемая за счет изоморфного замещения ионов в редкоземельных и железных подрешетках [4]. В них впервые был обнаружен гигантский линейный магнитоэлектрический эффект при комнатных температурах [5], а спустя почти два десятилетия новый сильный эффект такого же характера [6]. В последнем случае было установлено, что имеет место смещение доменных границ (ДГ) под действием сильного электрического поля, создаваемого заряженной иглой, поднесенной к поверхности образца. Анализ полученных данных был

интерпретирован на основе флексомагнитоэлектрического (ФМЭ) механизма [2,6], который получил в [7] определенное теоретическое обоснование.

Магнитоэлектрический эффект в ферритах—гранатах — явление неординарное, так как кристаллы ферритов—гранатов имеют кубическую симметрию (пространственная группа симметрии $Pm\bar{3}m$), что запрещает существование магнитоэлектричества в них. Первая интерпретация магнитоэлектрических эффектов, обнаруженных в $Y_3Fe_5O_{12}$ при низких температурах [8–10], была связана с понижением симметрии монокристаллов $Y_3Fe_5O_{12}$ вплоть до моноклинной при понижении температуры. Механизм, объясняющий возникновение электрических свойств ферритов—гранатов за счет поляризации иновалентных ионов Fe^{2+} , был предложен в [11]. В работах [12–14] показано, что наличие магнитной неоднородности высвобождает результирующий дипольный момент, возникающий вследствие полярного механизма, инициирующего возникновение структуры электро-дипольных моментов переходных ионов. Механизм магнитоэлектрических эффектов, обусловленный наличием пространственных неоднородностей вида дефектов, был рассмотрен в [15,16]. В рамках механизма, предложенного в [15], предполагается, что существенно неоднородное электрическое поле может привести к индуцированию в области его действия неоднородной анизотропии, которая будет проявляться как дефект.

В зависимости от направления поля дефект может представлять „потенциальную яму“ или „потенциальный барьер“, в результате чего, ДГ будет притягиваться или отталкиваться от него.

Необходимо отметить, что экспериментальные результаты, полученные в [6], инициировали ряд исследований, среди которых можно выделить [6,7,16–20]. В них изучались различные аспекты проявления ФМЭ эффекта в рассматриваемых в [6] пленках, в частности, в [3] исследовалось зарождение вихрей и антивихрей в электрическом поле, в [7,17] — топология и динамика ДГ, в [18,19] — структура и свойства ДГ с горизонтальными блоховскими линиями, в [16,20] — однородные и неоднородные состояния в (210)-ориентированной пленке ферритов-гранатов.

Известно, что воздействие неоднородного магнитного поля на определенный участок поверхности магнитоодноосной пленки может привести к зарождению в них цилиндрических магнитных доменов треугольной формы [21]. Аналогичное явление было обнаружено и в работе [22], в которой наблюдали зарождение подобных доменов в неоднородном электрическом поле, а также в работе [23], где с помощью сфокусированного лазерного импульсного облучения были индуцированы вертикальные блоховские линии в образце. Поэтому в данной работе будем исходить из того, что сам факт неоднородности поля может повлиять и на зарождение ДГ, и на его трансформацию, и на его смещение [15–17,22].

2. Основные уравнения

Рассмотрим одноосную ферромагнитную пленку, в которой имеет место неоднородное магнитоэлектрическое взаимодействие (ФМЭ эффект [2,7,24]). Будем полагать, что легкая ось анизотропии, а также внешнее электрическое поле \mathcal{E} , действующее на пленку, совпадают с нормалью к ее поверхности \mathbf{n} . Систему координат выберем таким образом, что бы ось $Oz \parallel \mathbf{n}$, а ось Oy совместим с направлением, вдоль которого магнетик неоднороден (рис. 1). В этом случае энергия возможных микромагнитных структур с учетом неоднородного магнитоэлектрического взаимодействия (НМЭВ), приведенная к площади сечения пластины плоскостью xOz , запишется в виде [7,17]:

$$E = \int_{-\infty}^{\infty} \left\{ A \left[\left(\frac{d\varphi}{dy} \right)^2 + \cos^2 \varphi \left(\frac{d\theta}{dy} \right)^2 \right] + K_u \left(\sin^2 \theta \cos^2 \varphi + \sin^2 \varphi \right) + \varepsilon_{\text{int}} + 2\pi M_s^2 \sin^2 \varphi \right\} dy, \quad (1)$$

где θ, φ — углы, определяющие единичный вектор намагниченности $\mathbf{m} = \mathbf{M}/M_s$ (рис. 1), причем $\mathbf{m} = (\cos \varphi \sin \theta, \sin \varphi, \cos \varphi \cos \theta)$, A — обменный параметр, K_u — константа одноосной анизотропии, M_s —

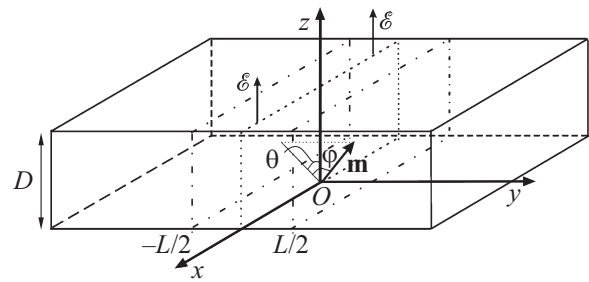


Рис. 1. Геометрия задачи.

намагниченность насыщения, ε_{int} — плотность энергии НМЭВ. Считая пластину достаточно толстой, пренебрегаем влиянием размагничивающих полей, обусловленных поверхностными магнитными зарядами, на структуру и свойства магнитных неоднородностей, возможных в данном магнетике. Полагаем, что выражение для ε_{int} определяется следующей формулой [25]:

$$\varepsilon_{\text{int}} = M_s^2 \mathcal{E} (b_1 \mathbf{m} \operatorname{div} \mathbf{m} + b_2 \mathbf{m} \times \operatorname{rot} \mathbf{m}), \quad (2)$$

которое с учетом выбранного направления \mathcal{E} и системы координат (рис. 1) можно записать в виде

$$\varepsilon_{\text{int}} = \mathcal{E} M_s^2 \times \left[(b_1 \cos^2 \varphi + b_2 \sin^2 \varphi) \cos \theta \frac{d\varphi}{dy} + b_2 \sin \theta \sin \varphi \frac{d\theta}{dy} \right], \quad (3)$$

где b_1, b_2 — константы НМЭВ.

Будем считать, что внешнее электрическое поле \mathcal{E} , величина которого задается выражением

$$\mathcal{E} = \mathcal{E}_0 / \operatorname{ch}(y/L), \quad (4)$$

действует в ограниченной области пространства; здесь L — определяет размер этой области вдоль оси Oy , \mathcal{E}_0 — величину напряженности в центре области действия поля ($y = 0$).

Тогда уравнения Эйлера–Лагранжа, отвечающие минимуму энергии (1) с учетом (3) и записанные в безразмерных величинах, примут вид

$$\frac{d}{d\xi} \left(\cos^2 \varphi \frac{d\theta}{d\xi} \right) - \sin \theta \cos \theta \cos^2 \varphi + (\lambda_1 + \lambda_2) f(\xi) \times \sin \theta \cos^2 \varphi \frac{d\varphi}{d\xi} + \lambda_2 \sin \theta \sin \varphi \cos \varphi \frac{df}{d\xi} = 0, \quad (5)$$

$$\frac{d^2 \varphi}{d\xi^2} - \sin \varphi \cos \varphi \left[\cos^2 \theta - \left(\frac{d\theta}{d\xi} \right)^2 \right] + (\lambda_1 + \lambda_2) f(\xi) \sin \theta \cos^2 \varphi \frac{d\theta}{d\xi} + \left(\lambda_1 \cos^2 \varphi + \lambda_2 \sin^2 \varphi \right) \cos \theta \frac{df}{d\xi} - Q^{-1} \sin \varphi \cos \varphi = 0,$$

где $\lambda_i = \mathcal{E}_0 M_s^2 b_i / 2K_u \Delta_0$ — приведенное (к характерным величинам $\varepsilon_i = 2K_u \Delta_0 / M_s^2 b_i, i = 1, 2$) поле,

$Q = K_u/2\pi M_s^2$ — фактор качества материала, $\xi = y/\Delta_0$, $\Delta_0 = \sqrt{A/K_u}$, $f(\xi) = \text{ch}^{-1}(\xi/l)$, $l = L/\Delta_0$.

Полученные уравнения представляют собой существенно нелинейные дифференциальные уравнения II порядка с непостоянными коэффициентами; они описывают структуру и свойства магнитных неоднородностей, возможных в рассматриваемом магнетике. Очевидно совместное решение уравнений системы (5) аналитически не представляется возможным из-за непреодолимых трудностей, возникающих при анализе таких уравнений, содержащих наряду со вторыми (θ'' , φ'') и первые производные (θ' , φ'), в том числе и члены содержащие $(\theta')^2$, а также функции, зависящие от координат в явном виде ($f(y)$, $f'(y)$). Поэтому в дальнейшем искать решения этих уравнений будем путем их численного интегрирования.

3. Трансформация структуры 180° ДГ

В основе численного исследования уравнений (5) был положен метод множественной стрельбы с применением итерационной процедуры по Ньютону [26], апробированный в [27]. Из результатов численной реализации задачи для случая НМЭВ с $b_1 = b_2$, следует, что при действии электрического поля на образец, происходит изменение топологии 180° ДГ: она из ДГ блоховского типа ($\varphi = 0$) преобразуется в ДГ с некруговой траекторией вектора намагниченности ($\varphi = \varphi(y)$) [28,29], т.е. с выходом вектора \mathbf{m} из плоскости вращения магнитных моментов (рис. 2). Последнее означает, что ДГ благодаря ФМЭ механизму [2,7] становится заряженной. При этом величина дифференциальной поляризации ДГ p , определяемая по формуле

$$p = -\frac{\partial \varepsilon_{\text{int}}}{\partial \varepsilon}, \tag{6}$$

будет уже отличной от нуля (в данном случае $p > 0$) и стенка будет притягиваться к источнику поля. Величина p является четной ограниченной функцией от y (рис. 3), достигающей максимального значения p_m в центре стенки. Здесь $p = \nu p_0$, где $p_0 = (M_s^2 b_i / \Delta_0)$ и ν — соответственно, характерная и приведенная величины поляризации. Аналогичная зависимость от y имеет место и для $\varphi = \varphi(y)$ (рис. 2, а). Отсюда следует, что чем больше величина поля ε_0 , тем больше максимальный угол выхода \mathbf{m} из плоскости стенки (φ_m), а вместе с ним и величина p_m .

Согласно расчетам при дальнейшем возрастании ε_0 максимальный угол выхода $\varphi_m = \varphi(0)$ увеличивается и при определенном значении поля $\varepsilon_0 = \lambda_i \varepsilon_i = 0.4 \varepsilon_1$ (т.к. $b_1 = b_2$, то $\varepsilon_1 = \varepsilon_2$, $\lambda_1 = \lambda_2 = 0.4$), становится равным $\pi/2$, то есть в ней появляется неелевский участок закона поворота \mathbf{m} в переходном слое (вблизи $y = 0$). Последний затем расширяется и при достижении полем величины $\varepsilon_{0c} = 0.488 \varepsilon_1$ 180° ДГ полностью становится неелевской (рис. 4). Полученный результат согласуется

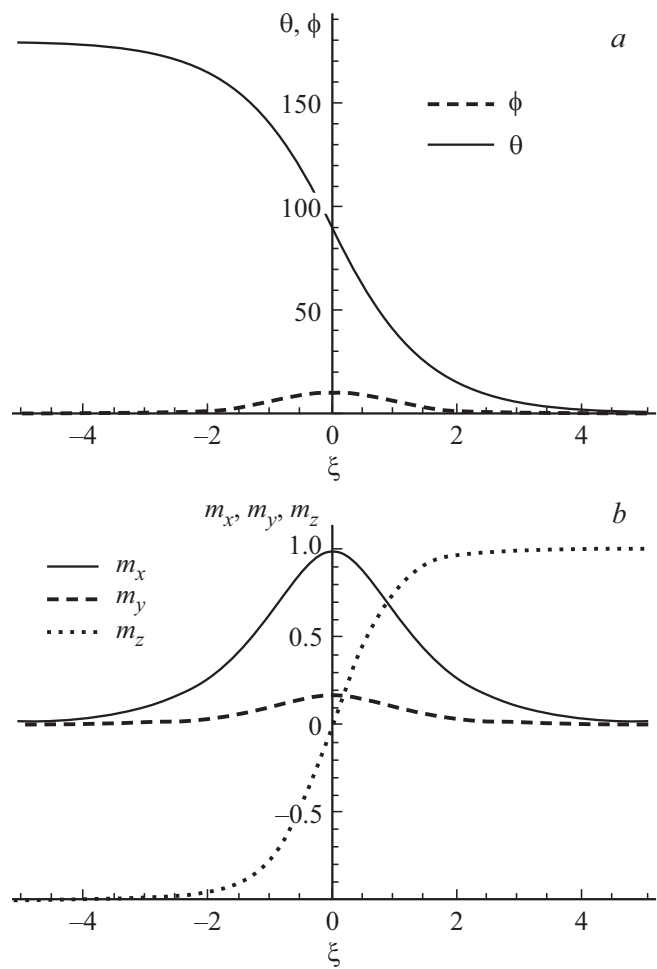


Рис. 2. Графики, иллюстрирующие распределение намагниченности \mathbf{m} в 180° ДГ, представленные через зависимости ее угловых переменных θ , φ (а) и через ее компоненты m_x , m_y , m_z (б) от ξ при следующих значениях параметров: $\lambda = 0.1$ ($b_1 = b_2$), $Q = 3$, $l = 5$.

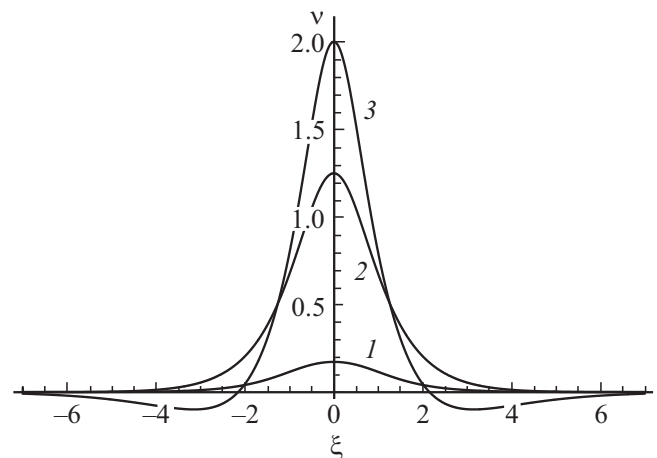


Рис. 3. График зависимости величины ν , определяющей дифференциальную поляризацию 180° ДГ, от ξ . Линия 1 соответствует $\lambda = 0.1$, 2 — $\lambda = 0.488$, 3 — $\lambda = 5$; остальные параметры те же, что и на рис. 2.

с расчетами [17,25], в которых также утверждается, что структура 180° ДГ в однородном электрическом поле, превышающем некоторое критическое значение, становится неелевской. Следует отметить, что в этих работах анализ трансформации структуры стенки не рассматривался.

Исследования показывают (рис. 5), что критическое поле перехода в неелевскую стенку $\mathcal{E}_{0c} = \lambda_c \mathcal{E}_1$ существенно образом зависит от размера области неоднородности электрического поля L : с уменьшением L величина \mathcal{E}_{0c} возрастает, а при $L \rightarrow 0$, значение критического поля \mathcal{E}_{0c} становится неограниченным ($\mathcal{E}_{0c} \rightarrow \infty$), с другой стороны, при возрастании L величина \mathcal{E}_{0c} уменьшается и при $L \rightarrow \infty$ достигает некоторого предельного значения, совпадающего со значением \mathcal{E}_{0c} в случае действия однородного поля \mathcal{E} на доменную стенку. Такая зависимость вполне объяснима тем вкладом, которое вносит НМЭВ в общую энергию (1). В частности,

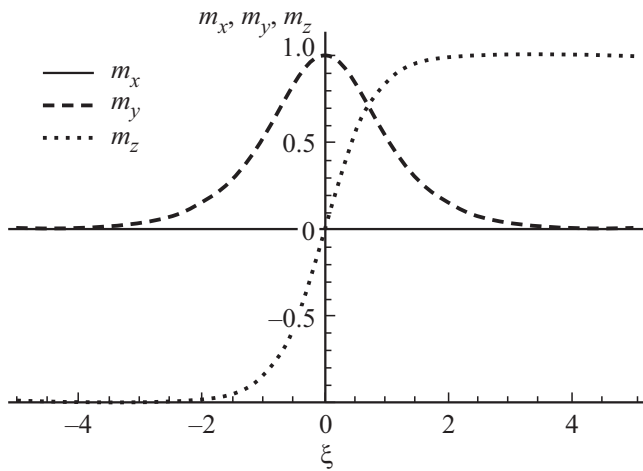


Рис. 4. Графики зависимости компонент m_x, m_y, m_z от ξ при $\lambda = 0.488$ ($b_1 = b_2$); остальные параметры те же, что и на рис. 2.

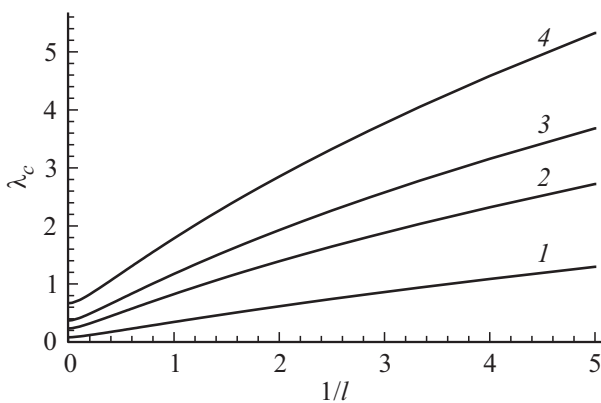


Рис. 5. Графики зависимости величины λ_c , определяющей критическое поле перехода 180° ДГ из квазиблоховской структуры в неелевскую от величины обратной l . Линия 1 соответствует $Q = 15$, линия 2 — $Q = 5$, линия 3 — $Q = 3$, линия 4 — $Q = 1.5$.

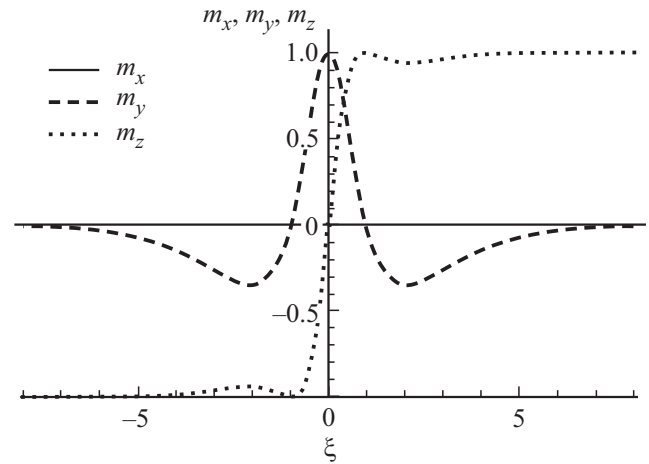


Рис. 6. График зависимости компонент m_x, m_y, m_z от ξ при $\lambda = 6$. Остальные параметры те же, что и на рис. 2.

энергия НМЭВ, определяемая выражением

$$E_{\text{int}} = \int_{-\infty}^{\infty} \varepsilon_{\text{int}} dy, \quad (7)$$

пропорциональна размеру области действия неоднородного электрического поля L , а также величине \mathcal{E}_0 . Отсюда следует, что $E_{\text{int}} = cL\mathcal{E}_{0c}$, где c — некоторая константа. Таким образом, можно утверждать, что чем меньше размер области действия поля L , тем большей величины необходимо приложить поле, чтобы 180° ДГ стала неелевской и наоборот. В силу того, что при значении поля $\mathcal{E} = \mathcal{E}_{0c}$ структура 180° ДГ будет всегда неелевской, то константа c практически не будет зависеть от L .

При дальнейшем увеличении величины \mathcal{E}_0 структура 180° ДГ претерпевает ряд трансформаций, связанных с возникновением дополнительных экстремумов на графиках зависимостей компонент вектора \mathbf{m} от координаты y (рис. 6). При этом стенка остается неелевской, а величина p_m непрерывно растет. Соответственно, интегральная величина поляризации $P = Np_0$, определяемая по формуле

$$P = \int_{-\infty}^{\infty} p(y) dy, \quad (8)$$

также будет увеличиваться.

До сих пор предполагалось, что вклады параметров b_1 и b_2 , которые определяют интенсивности соответствующих частей НМЭВ в ФМЭ эффект, одинаков ($b_1 = b_2$) [24]. В тоже время, выражение для плотности энергии НМЭВ, представленное в [25] в виде (2), предполагает, что эти вклады возможно отличаются. Поэтому необходимо выяснить в рамках данной задачи степень влияния каждой части НМЭВ на структуру и поляризацию ДГ.

Из расчетов следует, что в малых полях эти вклады носят аддитивный характер [7], но различаются по характеру их воздействия на ДГ. В частности, вклад, обусловленный наличием в ϵ_{int} слагаемого, содержащего $\text{rot } \mathbf{m}$ (второй тип), приводит к более существенным изменениям структуры (увеличение φ_m и ширины угловой зависимости $\varphi = \varphi(y)$ происходит сильнее рис. 7), чем вклад, связанный с $\text{div } \mathbf{m}$ (первый тип). Однако их вклады в дифференциальную поляризацию p отличаются не только количественно, но и качественно. Так поляризация p , обусловленная парциальным вкладом НМЭВ второго типа, имеет распределение по координате y (рис. 8), коррелирующее с угловой зависимостью $\varphi = \varphi(y)$ (рис. 7). В то же время распределение поляризации, обусловленное первым типом НМЭВ, описывается также четной ограниченной функцией, но с двумя

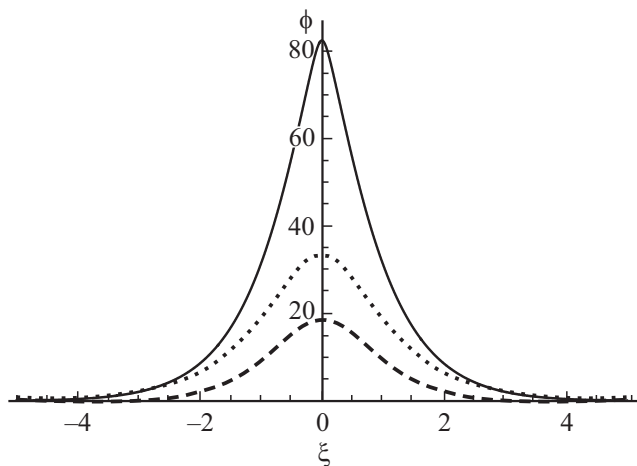


Рис. 7. Графики зависимости φ от ξ для 180° ДГ при $\lambda = 0.485, Q = 3, l = 5$. Здесь штриховая линия соответствует случаю, когда в НМЭВ — $b_1 \neq 0, b_2 = 0$, пунктирная — $b_1 = 0, b_2 \neq 0$, сплошная — $b_1 = b_2 \neq 0$ (совместный вклад обоих типов НМЭВ).

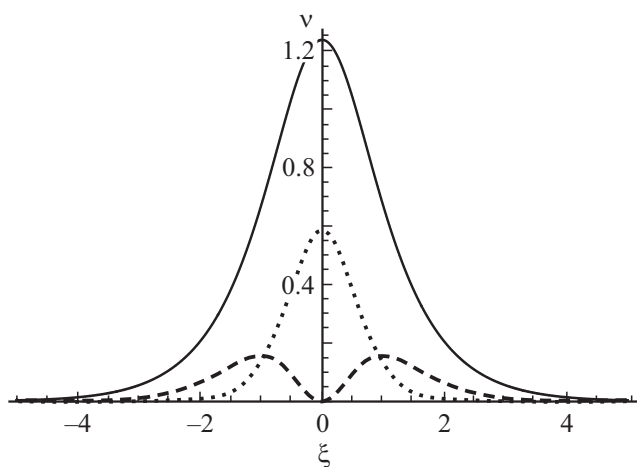


Рис. 8. График зависимости параметра ν для 180° ДГ от ξ . Значения параметров материала и обозначения кривых те же, что на рис. 7.

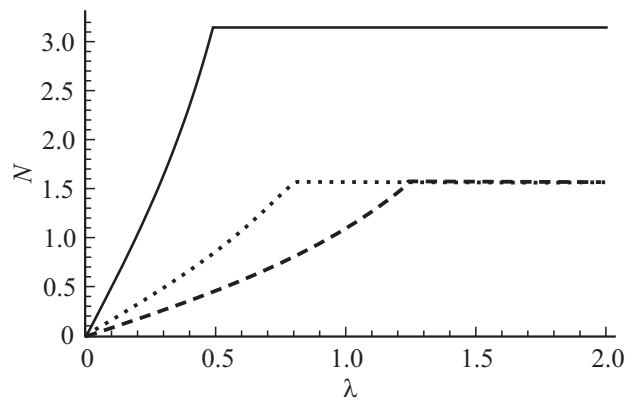


Рис. 9. Графики зависимости параметра N для 180° ДГ от приведенного поля λ при $Q = 3, l = 5$. Сплошная линия соответствует случаю учета НМЭВ с $b_1 = b_2 \neq 0$, штриховая — $b_1 \neq 0, b_2 = 0$, пунктирная — $b_1 = 0, b_2 \neq 0$.

пиками, симметрично расположенными относительно оси ординат и с $p(0) = 0$. Таким образом, в первом случае при включении поля в ДГ может возникнуть двойной электрический слой. В случае же $b_1 = b_2$ их совместное действие также приводит к гауссовскому распределению величины ν с максимальным значением поляризации в центре стенки. Влияние первого типа НМЭВ на результирующую поляризацию приводит лишь к некоторому уширению функции $p = p(y)$ в местах, где первой тип НМЭВ дает максимальный вклад в нее. Можно отметить, что в больших полях их вклады уже не являются аддитивными (это особенно заметно при анализе величины p_m на рис. 8). В данном случае они значительно усиливают друг друга, что связано с нелинейным характером уравнений (5). При этом можно отметить, что при значении поля, равным \mathcal{E}_{0c} , на графиках зависимости p_m от \mathcal{E}_0 для обоих вкладов имеется излом: характер зависимостей меняется от крутого подъема при малых $\mathcal{E}_0 < \mathcal{E}_{0c}$, до более пологого возрастания при больших $\mathcal{E}_0 > \mathcal{E}_{0c}$. Аналогично ведет и величина интегральной поляризации P (рис. 9), что связано с перестройкой структуры 180° ДГ: она трансформируется от квазиблоховского типа к неелевскому.

4. 0-градусные ДГ

Анализ уравнений Эйлера–Лагранжа (5) показывает, что в неоднородном электрическом поле вида (4) возможны также решения, соответствующие 0-градусным ДГ (0° ДГ). Они представляют собой магнитную неоднородность, разделяющую два домена с одинаковым направлением намагниченности \mathbf{m}_0 в них и имеющую гауссовский характер зависимости $\theta = \theta(y)$ [27,30]. 0° ДГ имеют важное значение в процессах спиновой переориентации магнетика от одного направления к другому, в которых они играют роль зародышей перемagnичивания [30,31]. Кроме того, такие неоднородности

могут образоваться в магнетиках на дефектах типа „потенциальная яма“ [27]. В данной ситуации возникновение 0° ДГ в одноосных ферромагнетиках с НМЭВ в неоднородном электрическом поле является вполне закономерным явлением, так как действие такого рода поля на магнитные моменты ограничено в пространстве и проявляет себя как дефект, индуцированный электрическим полем. Конечно механизм его воздействия на магнетик может быть двойным и привести еще к неоднородному смещению одностипных ионов и в конечном счете к индуцированию дополнительной анизотропии, которая будет также пространственно неоднородной [15,16]. Однако в данном случае ограничимся рассмотрением только первого механизма.

Таким образом зарождение 0° ДГ в неоднородном электрическом поле, как и в случае зарождения 0° ДГ на дефектах типа „потенциальная яма“, изученным в [27], носит пороговый характер, так как 0° ДГ появляются только в полях \mathcal{E}_0 , превышающих некоторое критическое значение \mathcal{E}_{0n} (в частности, при $\mathcal{E}_0 > \mathcal{E}_{0n} = 0.719\mathcal{E}_1$ для случая $L = 10\Delta_0$, $Q = 3$, $b_1 = b_2$, рис. 10). Справедливости ради надо отметить, что 0° ДГ в рассматриваемом магнетике может зародиться и в однородном поле. Однако его энергия при этом будет положительной и следовательно, такая 0° ДГ не будет устойчивой.

Как видно из рис. 10, в момент зарождения 0° ДГ имеет неблоховскую структуру, в которой зависимость $\varphi = \varphi(y)$ является функцией нечетной. Последнее означает, что вполне достаточно исследовать область $y > 0$. В этом случае, как следует из рис. 10, в момент своего зарождения (при $\mathcal{E}_0 = \mathcal{E}_{0n}$) функция $\varphi(y)$ имеет в области $y > 0$ при $y = y_1$ лишь один максимум $\varphi_m = \varphi(y_1)$, который является немалой величиной: $\varphi_m \sim 70^\circ$. Однако при возрастании \mathcal{E}_0 на графике зависимости $\varphi = \varphi(y)$ (рис. 10, кривая $2'$) появляется еще один минимум ($y = y_2$), который расположен в области $\varphi(y) < 0$, причем его координата находится правее координаты максимума функции $\varphi(y)$ ($y_1 < y_2$). Очевидно, при $y > y_2$ на графике зависимости имеется точка перегиба y_p , которая, согласно [32], определяет ширину Δ угловой зависимости $\varphi = \varphi(y)$.

При возрастании величины поля \mathcal{E}_0 координата y_2 точки минимума функции $\varphi(y)$, а вместе с ним и точки перегиба y_p смещаются в сторону меньших значений y . При этом глубина минимума $|\varphi(y_2)|$ растет при одновременном уменьшении высоты максимума $\varphi(y_1)$, а ширина Δ также уменьшается. При больших значениях \mathcal{E}_0 (в частности, для значений $L = 5\Delta_0$, $Q = 3$, при $\mathcal{E}_0 > 9.3\mathcal{E}_1$) происходит возникновение дополнительного максимума и одного минимума на графике зависимости $\theta = \theta(y)$. Такая существенная трансформация структуры 0° ДГ, которая происходит при увеличении напряженности \mathcal{E}_0 , приводит к уменьшению поляризации ДГ, как величины $p(0)$, так и ее интегральной величины P .

Значение поля зарождения $\mathcal{E}_{0n} = \lambda_n \mathcal{E}_1$ существенно зависит от размера L области действия неоднородного

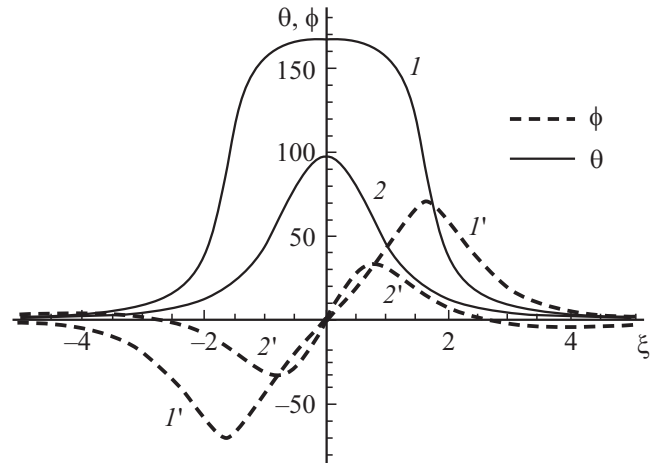


Рис. 10. Графики, иллюстрирующие распределение намагниченности \mathbf{m} в 0° ДГ, выраженные через зависимости θ, φ от ξ при $\lambda = 0.719$ (линии 1 и 1') и $\lambda = 2$ (линии 2 и 2'). Здесь $b_1 = b_2, Q = 3, l = 10$.

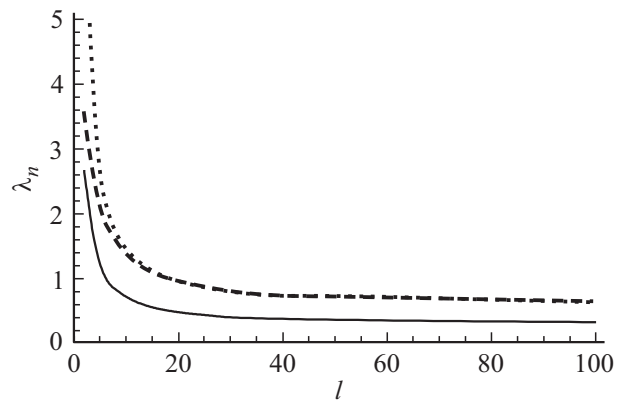


Рис. 11. Графики зависимости параметра λ_n от величины l для 0° ДГ при $Q = 3$. Штриховая линия соответствует случаю учета вклада НМЭВ первого типа, пунктирная — второго типа, сплошная — случаю учета совместного вклада НМЭВ.

поля (рис. 11): чем больше величина L , тем при меньших критических полях зарождаются 0° ДГ и наоборот. Следует отметить, что аналогичная зависимость имеет место и при рассмотрении в одноосных пленках условий возникновения 0° ДГ на дефектах типа „потенциальная яма“ [27,30,33]. С другой стороны с возрастанием размера L амплитуда θ_m и поляризация p_m уменьшаются. Кроме того на графике зависимости дифференциальной поляризации p от координаты (рис. 12) в момент зарождения 0° ДГ имеются два максимума p_m , симметрично расположенных относительно начала координат, и один относительный минимум (между ними в точке $y = 0$), которые с возрастанием величины поля \mathcal{E}_0 одновременно уменьшаются. При этом при возрастании L значение $p(0)$ также уменьшается, как и интегральная величина поляризации P .

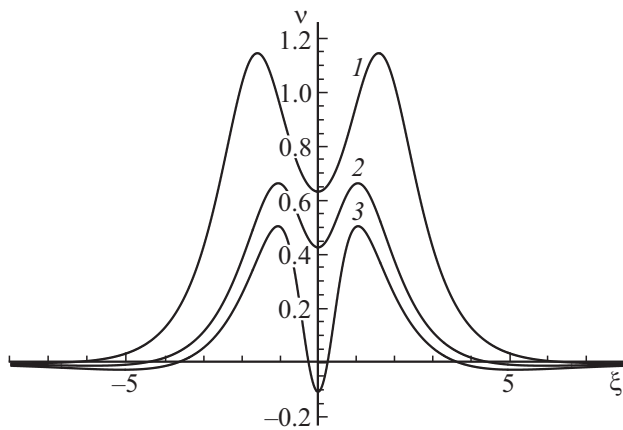


Рис. 12. Графики зависимости величины v для 0° ДГ от ξ при $Q = 3$, $l = 5$, $b_1 = b_2$. Линия 1 соответствует $\lambda = 0.719$, 2 — $\lambda = 1.5$, 3 — $\lambda = 2.5$.

Необходимо отметить, что приведенные выше явления зарождения 0° ДГ и дальнейшей его трансформации в неоднородном электрическом поле изучались для случая $b_1 = b_2$. Однако расчеты показывают, что влияние парциальных вкладов НМЭВ, в структуру 0° ДГ существенно отличаются от той картины, которая имела место для 180° ДГ. В частности, поле зарождения 0° ДГ в исследуемом магнетике, найденное при учете лишь вклада НМЭВ первого типа ($b_1 \neq 0$, $b_2 = 0$), ощутимо меньше ($\mathcal{E}_{0n} = 2.173\mathcal{E}_1$, при $L = 5\Delta_0$, $Q = 3$), чем поле зарождения — при учете вклада второго типа ($\mathcal{E}_{0n} = 2.737\mathcal{E}_2$, $b_1 = 0$, $b_2 \neq 0$, L и Q — те же значения). Более того характеристики 0° ДГ при учете различных типов НМЭВ, в момент зарождения также значительно отличаются: в первом случае $\theta_m \sim 165^\circ$, $\varphi_m \sim 56^\circ$, $\Delta = 5\Delta_0$ (эффективный размер 0° ДГ согласно [32]), а во втором случае $\theta_m \sim 175^\circ$, $\varphi_m \sim 62^\circ$, $\Delta = 2.6\Delta_0$. С возрастанием значения электрического поля \mathcal{E}_0 величины θ_m и φ_m в обоих случаях уменьшаются, однако данная тенденция происходит для первого случая более замедленно, чем для второго случая. Кроме того, обнаруженное ранее возникновение еще одного минимума на графиках зависимости при $y > 0$ с возрастанием \mathcal{E}_0 имеет место только в случае учета вклада НМЭВ первого типа, причем значение этого минимума ($|\varphi(y_2)|$) увеличивается с возрастанием \mathcal{E}_0 . Таким образом, можно утверждать, что часть НМЭВ, обусловленного наличием в нем $\text{div } \mathbf{m}$, приводит к более существенной трансформации структуры 0° ДГ, чем та часть НМЭВ, в выражении которого содержится $\text{rot } \mathbf{m}$. Отсюда вытекает, что основной вклад в величину индуцированной поляризации 0° ДГ вносит первый тип НМЭВ.

5. Обсуждение результатов

Анализ полученных данных показывает, что наложение электрического поля, направленного нормально к

поверхности пленки и действующего в ограниченной ее области, приводит к трансформации распределения намагниченности в 180° ДГ: ее структура (первоначально блоховского типа) преобразуется в квазиблоховскую с выходом вектора намагниченности \mathbf{m} из плоскости стенки [20,29]. При этом благодаря ФМЭ механизму ДГ становится заряженной, величина поляризации которой описывается четной, ограниченной функцией гауссовского типа. Дальнейшее увеличение поля приводит к возрастанию одновременно интегральной поляризации P и максимального угла φ_m . Последний все время увеличивается вплоть до значения $\varphi_m = \pi/2$, что означает возникновение в структуре ДГ неелевского участка, который затем разрастается. Наконец, при достижении полем некоторого критического значения \mathcal{E}_{0c} 180° ДГ становится полностью неелевской. При другом значении поля $\mathcal{E}_0 = \mathcal{E}_{0n}$, немного бóльшим по величине, чем \mathcal{E}_{0c} , зарождается магнитная неоднородность типа 0° ДГ, которая уже в момент ее образования является неблоховской ($\text{div } \mathbf{m} \neq 0$). Она, соответственно, имеет определенную поляризацию, интегральная величина которой с возрастанием \mathcal{E}_0 также увеличивается. Согласно расчетам, поле зарождения 0° ДГ \mathcal{E}_{0n} существенно зависит от ширины области действия поля L : чем больше L , тем меньше \mathcal{E}_{0n} и при $L \rightarrow \infty$ поле \mathcal{E}_{0n} асимптотически быстро стремится к величине $\mathcal{E}_{0n} = 0.3\mathcal{E}_1$. Таким образом, поля \mathcal{E}_{0c} и \mathcal{E}_{0n} являются характерными величинами, при достижении которых качественно меняются структура и свойства магнитных неоднородностей.

Следует отметить, что общая картина поведения микромагнитной структуры в неоднородном электрическом поле согласуется с экспериментальными данными, однако детальное сравнение результатов, полученных в данной работе с данными эксперимента [6,15] не представляется возможным в связи с существенными различиями в геометрии пленок: в работе [6] изучались доменные границы в (210) ориентированных пленках ферритов–гранатов, в которых значительную роль играет ромбическая и „скошенная ромбическая“ анизотропии [20,34], а здесь анализ магнитных неоднородностей рассмотрен в одноосном ферромагнетике.

Закономерности зарождения 0° ДГ в магнитоодноосной пленке в неоднородном электрическом поле, полученные в данной работе, во многом идентичны процессам образования 0° ДГ на дефектах типа „потенциальная яма“ [33]. Еще одним фактором, подтверждающим сходство этих явлений является зависимость энергии 0° ДГ от величины поля \mathcal{E}_0 : при определенном его значении энергия 0° ДГ становится отрицательной (например, для $Q = 3$, $L = 10\Delta_0$ при $\mathcal{E}_0 > 5.4\mathcal{E}_1$, (рис. 13)) и, следовательно, ее образование становится энергетически более выгодным, чем однородное состояние магнетика (как и в случае с 0° ДГ, зарождающимися на соответствующих дефектах [27,33]). Таким образом действие неоднородного электрического поля на магнетик, в котором имеет место НМЭВ, аналогично по вызываемым последствиям наличию в образце дефекта типа „потенциальная яма“.

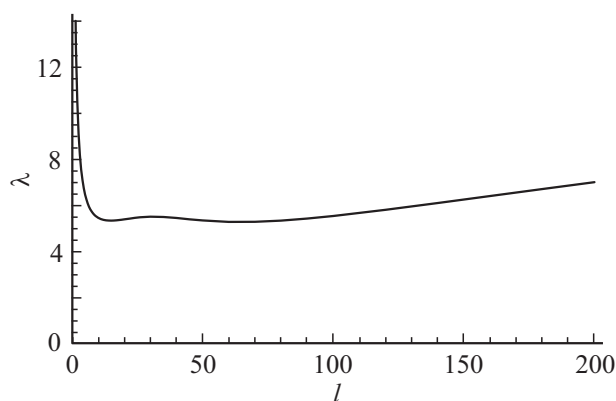


Рис. 13. График зависимости параметра λ от l , представленная в виде линии $\lambda(l)$, на которой энергия 0° ДГ обращается в ноль; в области, расположенной выше этой линии энергия 0° ДГ отрицательна, а ниже — положительна.

Однако есть и отличия, которые заключаются в следующем. Во-первых, ФМЭ эффект всегда приводит к трансформации существующих или к образованию новых магнитных неоднородностей таким образом, чтобы они соответствовали неблоховской структуре, в результате чего на ДГ возникает поляризация. Во-вторых, 0° ДГ при наличии в магнетиках НМЭВ может возникать в них и в однородном электрическом поле, хотя ее энергия является положительной.

Следует отметить, что в работе исследовалось также парциальные вклады НМЭВ, обусловленные наличием в (2) соответствующих слагаемых ($\text{div } \mathbf{m}$ и $\text{rot } \mathbf{m}$), в структуру магнитных образований, возникающих в неоднородном поле. Выяснилось, что на 180° ДГ более сильное влияние оказывает часть НМЭВ второго типа, а на 0° ДГ — часть НМЭВ первого типа. Такая избирательность вкладов разного типа возможно объясняется тем, что НМЭВ второго типа, легче изменить структуру 180° ДГ, в которой уже имеется „завихрение“ магнитных моментов (точнее замыкание магнитного потока в ДГ), чем структуру 0° ДГ, не обладающей такой особенностью.

В заключение авторы выражают признательность профессору физического факультета МГУ А.П. Пятакову за проявленный интерес к нашей работе и предоставленные экспериментальные материалы.

Список литературы

- [1] G. Catalan, J. Seidel, R. Ramesh, J.F. Scott. *Rev. Mod. Phys.* **84**, 119 (2012).
- [2] А.П. Пятаков, А.К. Звездин. *УФН* **182**, 593 (2012).
- [3] G.A. Meshkov, A.P. Pyatakov, A.D. Belanovsky, K.A. Zvezdin, A.S. Logginov. *J. Magn. Soc. Jpn.* **36**, 46 (2012).
- [4] В.В. Рандошкин, А.Я. Червоненкис. *Прикладная магнитооптика*. Энергоатомиздат, М. (1990). 320 с.
- [5] Б.Б. Кричевцов, В.В. Павлов, Р.В. Писарев. *Письма ЖЭТФ* **49**, 466 (1989).
- [6] А.С. Логгинов, Г.А. Мешков, А.В. Николаев, А.П. Пятаков. *Письма ЖЭТФ* **86**, 2 (2007).
- [7] Р.М. Вахитов, А.Т. Харисов, Ю.Е. Николаев. *ДАН. Физика* **455**, 150 (2014).
- [8] T. O'Dell. *Philosoph. Mag.* **16**, 487 (1967).
- [9] G. Velleaud, B. Sangare, M. Mercier, G. Aubert. *Solid State Commun.* **52**, 71 (1984).
- [10] H. Ogawa, E. Kita, Y. Mochida, K. Kohn, S. Kimura, A. Tasaki, K. Siratori. *J. Phys. Soc. Jpn* **56**, 452 (1987).
- [11] Y. Kohara, Y. Yamasaki, Y. Onose, Y. Tokura, *Phys. Rev. B* **82**, 104419 (2010).
- [12] A.I. Popov, Z.V. Gareeva, A.K. Zvezdin. *Phys. Rev. B* **92**, 144420 (2015).
- [13] A.I. Popov, K.A. Zvezdin, Z.V. Gareeva, F.A. Mazhitova, R.M. Vakhitov, A.R. Yumaguzin, A.K. Zvezdin. *J. Phys.: Condens. Matter* **28**, 456004 (2016).
- [14] A.I. Popov, Z.V. Gareeva, F.A. Mazhitova, R.A. Doroshenko. *JMMM* **461**, 128, (2018).
- [15] А.Ф. Кабыченков, Ф.В. Лисовский, Е.Г. Мансветова. *Письма ЖЭТФ* **97**, 304 (2013).
- [16] Г.В. Арзамасцева, А.М. Балбашов, Ф.В. Лисовский, Е.Г. Мансветова, А.Г. Темирязов, М.П. Темирязева. *ЖЭТФ* **147**, 793 (2015).
- [17] М.А. Шамсутдинов, А.Т. Харисов, Ю.Е. Николаев. *ФММ* **111**, 472 (2011).
- [18] М.А. Борич, А.П. Танкеев, В.В. Смагин. *ФТТ* **58**, 63 (2016).
- [19] М.А. Борич, А.П. Танкеев, В.В. Смагин. *ФТТ* **58**, 1329 (2016).
- [20] Р.М. Вахитов, Р.Р. Исхакова, А.Р. Юмагузин. *ФТТ* **60**, 923 (2018).
- [21] А.П. Иванов, А.С. Логгинов, Г.А. Непокойчицкий, И.И. Никитин. *ЖЭТФ* **84**, 1006 (1984).
- [22] Д.П. Куликова, А.П. Пятаков, Е.П. Николаева, А.С. Сергеев, Т.Б. Косых, З.А. Пятакова, А.В. Николаев. *Письма в ЖЭТФ* **104**, 196 (2016).
- [23] А.С. Логгинов, А.В. Николаев, Е.П. Николаева, В.Н. Онищук. *ЖЭТФ* **117**, 571 (2000).
- [24] В.Г. Барьяхтар, В.А. Львов, Д.А. Яблонский. *Письма ЖЭТФ* **37**, 565 (1983).
- [25] I.E. Dzyaloshinskii. *Europhys. Lett. (EPL)* **83**, 67001 (2008).
- [26] Дж. Холл, Дж. Уатт. *Современные численные методы решения обыкновенных дифференциальных уравнений*. Мир, М. (1979). 372 с.
- [27] Р.М. Вахитов, Т.Б. Шапаева, Р.В. Солонейский, А.Р. Юмагузин. *ФММ* **118**, 571 (2017).
- [28] A. Hubert, R. Schäfer. *Magnetic domains*. Springer-Verlag, Berlin (2009). 696 p.
- [29] В.В. Плавский, М.А. Шамсутдинов, Б.Н. Филиппов. *ФММ* **88**, 22 (1999).
- [30] Р.М. Вахитов, А.Р. Юмагузин. *ФТТ* **43**, 65 (2001).
- [31] Р.М. Вахитов, В.Е. Кучеров. *ЖТФ* **70**, 67 (2000).
- [32] V.A. Lilley. *Phil. Mag.* **41**, 792 (1950).
- [33] Р.М. Вахитов, Е.Б. Магадеев. *ФММ* **115**, 306 (2014).
- [34] I. Nistor, C. Holthaus, S. Tkachuk. *J. Appl. Phys.* **101**, 09c526 (2007).

Редактор К.В. Емцев